

Propagação de fenda:

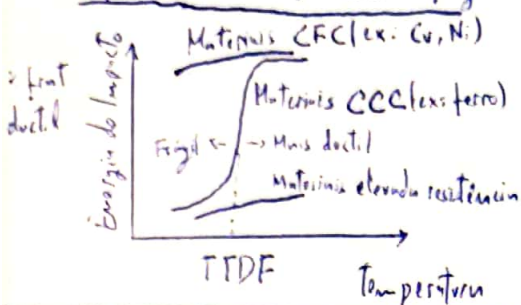
> frágil > plástico

$$\sigma_c = \frac{(2E\gamma_s)^{1/2}}{\tau_{\text{frat}}} \Rightarrow \begin{array}{l} \text{funda só se propaga} \\ \text{a uma tensão superior} \\ \text{à tensão crítica} \end{array}$$

↓
modulo
Young
de superfície
específico
(por m²)

magnitude da
comprimento da
fenda

Tensão de transição metil-frágil:



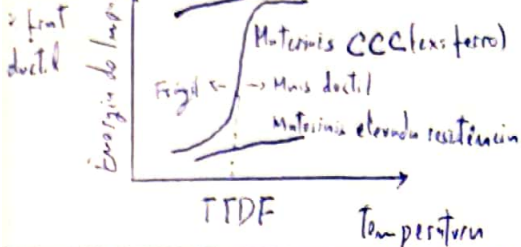
(Tensão Crítica (fendas))

$$K_{IC} = Y \sigma \sqrt{\pi a} \rightarrow \begin{array}{l} \text{comprimento} \\ \text{fenda-superfície} \\ \text{constante tensão} \\ \text{geometria aplicada} \\ (\approx 1) \end{array}$$

ou metade da
comprimento
da fenda-superfície

(Tensão à fratura em modo I)

frat
ductil



Compressão: semelhante à curva real de tração

$$\mu_{est} = \frac{F_{est}}{P} \quad P \downarrow \mu_{dim}$$

$$\mu_{dim} = \frac{F_{dim}}{P}$$

Atrito → Desgaste
↓ Desgaste → ↓ Atrito → ↓ μ → Lubrificantes

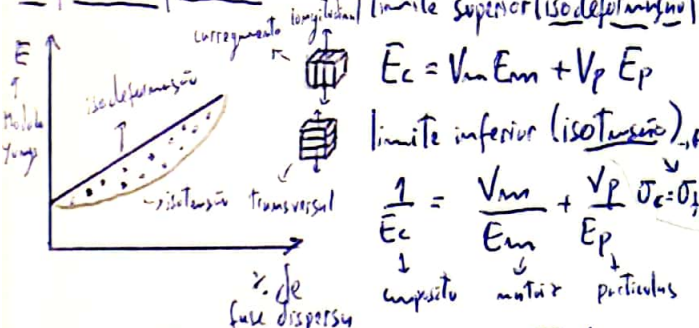
CMCs: o objetivo é aumentar a tenacidade

CMPs: o objetivo é aumentar o módulo de Young (frigidez)

CMMs: o objetivo era aumentar a resistência à fluência

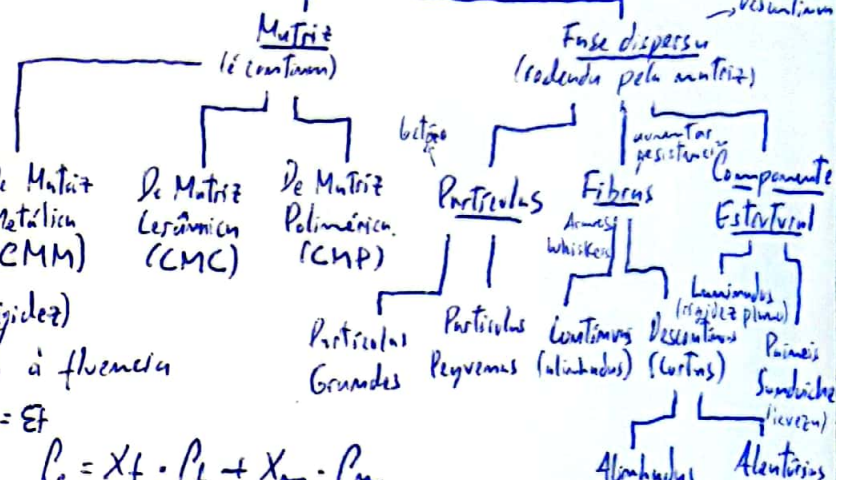
Reforçado partículas:

$$\Delta E = \Delta E_c + \Delta E_m \quad E_a = E_m = E_f$$



$$\text{Comprimento Crítico das fibras} = 15 \frac{\sigma_f d}{E_c} \quad \text{d} = \text{diâmetro das fibras}$$

Nota: É melhor utilizar fibras longas e finas



$$X_f = \frac{P_c - P_m}{P_f - P_m} \rightarrow \begin{array}{l} \text{para isodeformação} \\ \text{para isotensão} \end{array}$$

$$X_f = \frac{1}{E_c} - \frac{1}{E_m} \rightarrow \begin{array}{l} \text{para isodeformação} \\ \text{para isotensão} \end{array}$$

$$E_{cf} = \frac{E_m \cdot E_p}{X_m \cdot E_f + X_f \cdot E_m} \rightarrow \begin{array}{l} \text{cerâmicos} \\ \text{metais} \\ \text{polimeros} \end{array}$$

$$\left. \begin{array}{l} \text{cerâmicos} \\ \text{metais} \\ \text{polimeros} \end{array} \right\} \downarrow \begin{array}{l} \text{ligançõe iônica} \\ \text{e covalente} \\ \text{ligançõe} \\ \text{metálica} \end{array}$$

$$\left. \begin{array}{l} + T_f \\ + E \\ - \alpha \end{array} \right\} \downarrow \begin{array}{l} + T_f \\ + E \\ - \alpha \end{array}$$

$$\left. \begin{array}{l} + (grande) \\ + (moderado) \\ - (pequeno) \end{array} \right\} \downarrow \begin{array}{l} + T_f \\ + E \\ - \alpha \end{array}$$

coeficiente de expansão térmica

Típicamente
↓
(cristalinos)
(Metal e Grânulos)
intâmos arranjados
com ordem
↓
+ baixas
resistência
Máxima
compridade

↓
não cristalinos ("Amorfos")
(Polímeros)
átâmos arranjados
ultimamente

Rede cristalina: arranjo periódico, infinito, tridimensional de pontos

Absorção
Matemática
Ponto = mó de rede

Vetor que une dois pontos =
= vetor de rede

Unidade Cristalina: Unidade Estrutural + Rede Cristalina
Qualquer coisa que tem
realidade física: átomos, partículas

Redes planas:

Oblíqua $\rightarrow u/b$
Quadrada $\rightarrow u=b$
 $\alpha=90^\circ$

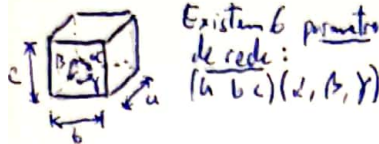
Retangular $\rightarrow u/b$
 $\alpha=90^\circ$

Retangular $\rightarrow u/b$
Centrado $\rightarrow u=90^\circ$

Hexagonal $\rightarrow u/b$
 $\alpha=90^\circ$

Para redes planas existem 3 parâmetros

Redes Tridimensionais (3D)



Existem 6 primitivas de rede:
(a, b, c) (a, b, Y)

Célula Unitária: menor volume definido a partir de vetores da rede, que contém o padrão completo da rede cristalina

Células unitárias Convenicional: mostra a simetria da rede
Primitiva: a cujo volume corresponde a 1 m³

Volume m³ = volume da rede
m³ = volume das dimensões do ponto

14 Redes Bravais + Sistemas Cristalográficos

triclinico $\begin{cases} a=b=c \\ \alpha=\beta=\gamma=90^\circ \end{cases}$
monoclínico $\begin{cases} a=b \\ \alpha=90^\circ \\ \beta=120^\circ \end{cases}$
hexagonal $\begin{cases} a=b=c \\ \alpha=\beta=90^\circ \\ \gamma=120^\circ \end{cases}$
cuboédrico $\begin{cases} a=b=c \\ \alpha=\beta=\gamma=90^\circ \end{cases}$
ortorombílico $\begin{cases} a=b=c \\ \alpha=\beta=90^\circ \\ \gamma>90^\circ \end{cases}$
tetragonal $\begin{cases} a=b=c \\ \alpha=\beta=\gamma=90^\circ \end{cases}$
cúbico

$$FCA = \frac{\text{Volume atômos na célula unitária}}{\text{Volume célula unitária}}$$

↓
função de composto atómico

Sistema cúbico:

- Célula Simple (CS)

$$\text{Vol. célula convencional} = a^3$$

$$N^{\text{mols}} \text{ célula convencional} = 8 \times \frac{1}{8} = 1 \text{ mol}$$

Célula convencional = Célula Primitiva

$$\text{Volume/m³} = a^3$$



$$a = 2R$$

Nº coordenadas = 6
(nº de vizinhos + próximos)
o que está em cada lado

Unidade estrutural = 1 atomo ↑

→ arestas são as direções de máxima compacidade

$$FCA = \frac{1 \times \frac{4}{3} \pi (0,5a)^3}{a^3} = 0,52$$

nº atômos Volume
célula unitária célula unitária

1 atomo/célula unitária estrutural

- Célula de corpo centrado (CC)

$$\text{Vol. célula convencional} = a^3$$

$$N^{\text{mols}} \text{ célula convencional} = 8 \times \frac{1}{8} + 1 = 2 \text{ mols}$$

Célula convencional ≠ Célula Primitiva

$$\text{Volume/m³} = \frac{a^3}{2} = \frac{\text{Volume célula primitiva}}{(\text{Volume célula convencional})/2}$$



$$a = \frac{4\sqrt{3}}{3} R$$

$$N^{\text{coordenadas}} = 8$$

Unidade estrutural = 1 atomo

$$FCA = \frac{2 \times \frac{4}{3} \pi \left(\frac{\sqrt{3}}{4} a\right)^3}{a^3} = 0,68$$

2 atomas/célula unitária estrutural

Estrutura FFC → AB-C-A-B-C

Estrutura HC → A-B-A-B-A-B
(ordem do empilhamento)

Densidade teórica: $\rho_t = \frac{m}{V_c N_A}$ → peso atômico

Número de atômos na célula unitária
Volume célula unitária

Alt. trópico / Polímero

→ Material pode apresentar suas ou suas estruturas

Sistema hexagonal: a célula convencional da rede hexagonal é um prisma hexagonal

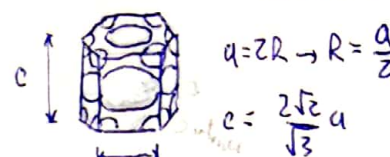
Rede Hexagonal, f. Estrutura Hexagonal Compacta (HC)

$$\text{Volume da célula convencional} = (3\sqrt{3})/2 a^2 c$$

$$N^{\text{mols}} \text{ célula convencional} = 12 \times \frac{1}{6} + 2 \times \frac{1}{2} = 3 \text{ mols}$$

Célula convencional ≠ Célula Primitiva

$$\text{Volume célula primitiva} = \text{volume da célula convencional}/3 = \sqrt{3}/2 \cdot a^2 c$$



$$a = 2R \rightarrow R = \frac{a}{2}$$

$$c = \frac{2\sqrt{3}}{3} a$$

$$N^{\text{coordenadas}} = 12$$

$$FCA = \frac{6 \times \frac{4}{3} \pi (0,5a)^3}{3\sqrt{3}a^3} = 0,74$$

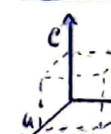
$$3\sqrt{3}a^3$$

Célula primitiva é um prisma cuja altura é c e cuja área da base é $\sqrt{3}/2$ da área do hexágono

Unidade estrutural = 2 atômos

6 atômos/célula estrutural

Coordenadas de um ponto:



coordenadas do vértice da célula unitária: 111
translação: posição idêntica noutra célula unitária

Planos Cristalográficos: (hkl)

Índices Miller: inversos das distâncias a que o plano corta cada um dos três eixos depois de reduzidos ao mesmo denominador.

$$\rho_L = \frac{\text{Número atômos}}{\text{Comprimento das direções}}$$

densidade atómica → medida composta linear das direções

$$d_{hkl} = \frac{a}{(h^2 + k^2 + l^2)^{1/2}}$$

Espaçamento interplanar

$$\rho_P = \frac{\text{Número Atômos}}{\text{Área Plano}}$$

densidade atómica planar

Planos Cristalográficos na estrutura HC:

4 eixos → Índices de Miller-Bravais (h, k, i, l)

$$i = -(h+k) \quad (h+k+i=0)$$

→ bases e faces não têm os mesmos tipos de índices daí se ter estudo este novo índice.

$$[U'V'W'] \rightarrow [UVTW]$$

$$U = \frac{1}{3}(2U' - V')$$

$$V = \frac{1}{3}(2V' - U')$$

$$T = - (U + V)$$

$$W = W'$$

Determinação de estruturas cristalinas:

São usadas:
 - ondas difratadas
 - raio-X
 - tén. de estururas fases
 - raio-X incidentes
 - raio-X difratados pelos planos cristalográficos

$$\text{Lei de Bragg: } m\lambda = 2d \sin\theta$$

Método dos pôs:
 - Raio-X monocrómatico (λ constante)
 - Amostra em pó \rightarrow policristalino (todos os angulos)
 - Para cada (hkl) há pelo menos uma partícula que verifica a lei de Bragg

Regras para determinação dos planos difratores (hkl) :



Existe reflexão quando a soma dos índices de Miller é par
 Existe reflexão quando todos os índices de Miller são pares ou quando são todos ímpares

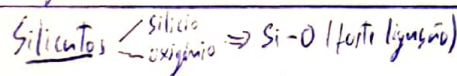
Tendo 2 ângulos de difração obtidos:

$$\frac{\sin^2\theta_1}{\sin^2\theta_2} = \frac{[(h_1)^2 + (k_1)^2 + (l_1)^2]}{[(h_2)^2 + (k_2)^2 + (l_2)^2]}$$

$$\begin{aligned} &= 0,50 \\ &\downarrow \quad \downarrow \\ &\text{CCC} \quad \text{CFC} \end{aligned}$$

Seleção de interstícios:
 se todos os interstícios de um tipo estiverem ocupados, os cátions restantes têm de ocupar interstícios de outro tipo

Hibridização da ligação \rightarrow se a ligação covalente for significativa os orbitais hibridos podem ser importantes



\rightarrow silicatos em cumulos



Para conseguir a neutralidade (por exemplo, aluminosilicato comum $\text{Al}_2(\text{Si}_4\text{O}_10)_2^{2+}$)

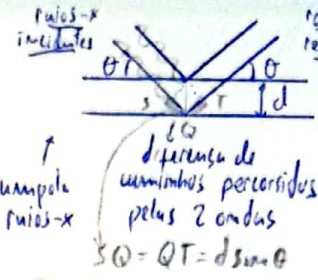
Concentração de equilíbrio de lacunas:

$$\frac{N_v}{N} = \exp\left(-\frac{Q_v}{kT}\right)$$

Nº de posições de átomos de Boltzmann \uparrow
 Constante de Boltzmann \uparrow
 Temperatura \uparrow
 Processo lentamente atômico

Determinação Energia Atômica:

$$\ln \frac{N_v}{N} = -\frac{Q_v}{K} \cdot \frac{1}{T}$$



$$d = \frac{m\lambda}{2 \sin \theta}$$

angulo crítico intenso
 raio-X refletidos

Espetro de difração

\rightarrow Para cada estrutura existe uma sequência de valores de (hkl)

ângulo de difração, 2θ

$$\theta = \arcsin \frac{\lambda \sqrt{h^2 + k^2 + l^2}}{2d}$$

$$\Delta T \Rightarrow (h^2 + k^2 + l^2) \uparrow$$

Monocristais: Propriedades variam com a direção

Policristais: Se grãos estiverem orientados aleatoriamente (isotrópico)

\rightarrow se existirem texturas: anisotrópico

Estruturas cristalinas dos cerâmicos:

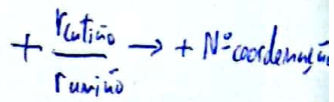
anões oxigénio. \rightarrow cátions metálicos
 arranjando-se na estrutura compacta (FC) → alojando-se nos interstícios da estrutura oxigénio.

Oxídos

Seleção de posições:



Neutralidade: carga na estrutura tem de ser zero



Nota: Piroclásicos $>$ Cerâmicos $>$ Polímeros (geral)

Defeitos em sólidos

Defeitos pontuais em Materiais	Defeitos pontuais em ligas	Defeitos pontuais cerâmicos
Falhas de empilhamento Madras Limites de Grão	Deslocamentos substituições lacunais	lacunais intersticiais faltas cutões lacunais

Defeitos pontuais em ligas: existem pelo menos 2 tipos de átomos

Defeitos pontuais cerâmicos:
 (lacunais) (intersticiais)
 faltas cutões
 cutões uníonicas
 cutões intersticiais

Defeito Shottky
 Defeito Frankel

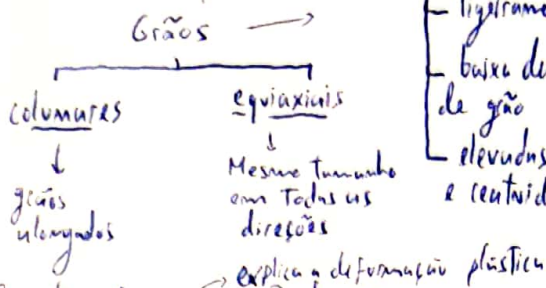
Regras de W.Huey-Rothory:

- $A_r < 15\%$ (tensão)
- proximidade $\text{P}_{\text{flextensão}}$
- estruturas cristalinas semelhantes
- valências

Nota: Nos materiais cerâmicos, quando são introduzidas "impurezas" tem de ser mantida a neutralidade
 Exemplo: "impureza" cátionica substituição $\text{O}^{2-} \text{---} \text{Na}^+$ $\text{O}^{2-} \text{---} \text{Cu}^{2+}$ lacuna cátionica

Defeitos superficiais em sólidos:

Solidificação - ocorre no resfriamento de um material fundido



Defeitos superficiais

- Límites de grão: regiões entre cristais
- ligeiramente desordenados
- baixa densidade nos limites de grão
- elevadas mobilidade, difusão e reatividade química

Falhas de Empilhamento:

→ Em metais c/ estrutura FCC: erro na sequência

de empilhamento dos planos atômicos em relação ao plano de arranjo

ex: ABCABAABC

erro

Marcas:

→ Essemencialmente uma reflexão das posições atômicas em relação ao plano de arranjo



, plano de arranjo

Defeitos Lineares - Deslocações:

Características

- São defeitos unidimensionais
- caracterizados pela linha de deslocação (vetor linha I)

- caracterizados pelo vetor de Burgers → Mede a distorção de rede
Burgers b (é determinado trazendo o circuito de Burgers)

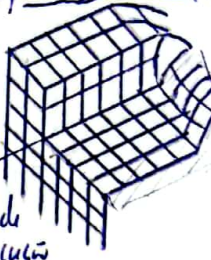
- vetor de Burgers e linha da deslocação definem o plano de escorregamento

Classificação

Orientação Relativa	vetor de burgers	linha de deslocação	
		total ou perfeita	parcial ou imperfeita
Destocação Parafuso	b é // à linha de deslocação	(b = vetores de rede)	(b ≠ vetores de rede) → deslocação em anel
Mista	b é obliqua à linha de deslocação		
Cumba	b é ⊥ à linha de deslocação		

→ os planos escorregem

Reformação Parafuso:



"Cumpa em espiral" resultante do deslocamento de corte.

Deslocação em cumba

Nota: Cálculo do Vetor de Burgers → traz-se um caminho fora da deslocação (clockwise) → traz-se o mesmo caminho em 3D de deformação e o que sobra para fechar é o vetor

Deslocações e classes de materiais

Cerâmicos
Iônicos
Movimento de deslocações difícil devido à necessidade de evitar vizinhos com mesmo sinal

Cerâmicos Correntes
Movimento de deslocações difícil devido às direções

Métal
Movimento de deslocações fácil devido às direções não-direcionais, escorregamento em direções e planos compostos

Movimento de deslocações → Sem movimento de deslocações não há deformação plástica

⇒ Movimento por efeito de tensões corte (τ) na direção de

Plano de escorregamento + Direção escorregamento = Sistema de gato escorregamento

+ provável, em que escorregimento é fácil

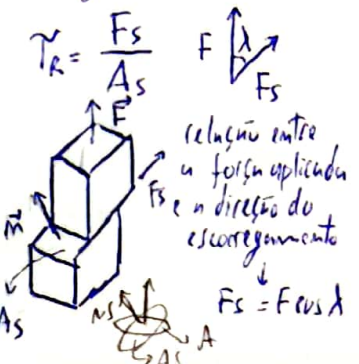
habitualmente, a direção de + compresão (maior densidade atómica linear)

Multiplicação de deslocações:
= Densidade de deslocações, P_D

comprimento total de linhas de deslocação por u. v. l.

+ P_D + O_{CED} → Encanto

Escorregamento devido à tensão Tensão tangencial resolvida critica (TTRC)



$T_R = \frac{F_s}{A_s}$
 $F_s = F \cos \lambda$
 $A = N \cos \phi$

relação entre a força aplicada e a direção do escorregimento
relação entre o vetor normal da base e vetor normal do plano de escorregimento

Tensão tangencial resolvida critica (TTRC)

$T_R > T_{TTRC} \rightarrow$ pura haver deslocações

Transição para $\lambda = \phi = 45^\circ$

fator Schmid

$$\Rightarrow T_R = O \cos \lambda \cos \phi$$

Uma passagem obstáculos

Deslocação

$b \parallel$ linha desloc.

cumba (preciso de energia para saltar)

parafuso (se encontrar um obstáculo é parado)

destacado

outro. + T - Resist. Mec.

\rightarrow linha desloc.

parafuso (se encontrar um obstáculo é parado)

destacado

outro. + T - Resist. Mec.

Polímeros → fases da polymerização

polymerização por passos sucessivos (por condensação)

junção de monômeros (união repetitiva)

↳ número

grau de polymerização, n

polymerização em cadeia (por adição) / Propagação / Iniciação / Propagação / Terminação

ligança dupla
despropõe dímero ligações simples

$$\text{Peso molecular médio} = \frac{\text{peso total polímero}}{n = \text{total moléculas}}$$

massa das moléculas na categoria

Peso médio cf / fração número

$$\bar{M}_N = \frac{\sum N_i M_i}{N} = \sum x_i M_i$$

fração de moléculas na categoria i $\rightarrow x_i = \frac{N_i}{N}$

Peso médio cf / fração peso

$$\bar{M}_w = \frac{\sum p_i M_i}{p_t} = \sum w_i M_i$$

$$w_i = \frac{p_i}{p_t} \quad (\text{fração peso na categoria i})$$

$$\bar{M}_w > \bar{M}_N$$

Nota: $\bar{M}_w > \bar{M}_N$

Forma das moléculas

Estereo-isomerismo

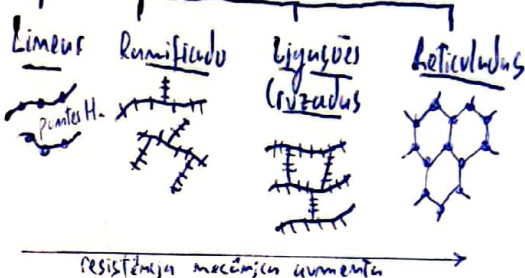
Isotáctico	Semiciáptico	Atáctico
(Grupos R mesmo lado do cadeia)	(Grupos R diferente lado do lado e outro do cadeia)	(Grupos R colocados aleatoriamente no lado e outro da cadeia)

Cristalinidade de polímeros

- Polímeros 100% cristalinos sólidos
- Em geral, +% cristalinidade \Rightarrow +E_{mod} + Resist.
- Regiões cristalinas (cristalitos) (troços planos)

Forma dos cadeias

Cadeias moleculares



Nota: Conformações:
as cadeias podem rodar
sobre si

Tipos de polímeros

Reciclagem

Reformado
c/ Temperatura

Quando se
quebrar

Termoendurecíveis

Termoplásticos

- muitas ligações cruzadas
- duros e frágéis
- não amolecem por aquecimento
- amolecem quando a temperatura aumenta

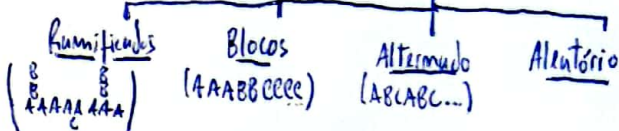
- poucas ligações cruzadas

- doces

- amolecem quando a temperatura aumenta

tipos de copolímeros

(dois ou mais tipos de mero)



temperatura de transição vitrea (T_g)

- Abaixo de T_g \rightarrow vidro
- Acima de T_g \rightarrow adquire alta deformabilidade

Nota: Degradação polímero \rightarrow temperaturas elevadas Radiação

Propriedades Mecânicas dos Polímeros

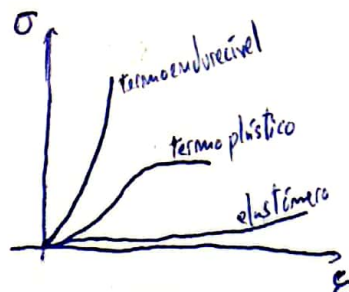
- $\sigma_{MAX} \approx 10\% \sigma_{MAX_{metal}}$
- $E_{pol} < E_{metal}$
- São visco-elásticos

Vulcanização da borracha

Adição enxofre às cadeias poliméricas (~3%)

Aumento R. Mec da borracha

Fica mais elástica que viscosa

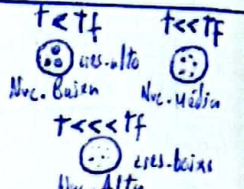


Solidificação (resultado do vazamento de material líquido)

Nucleação (formação de núcleos sólidos)

Crescimento (Aumento das moléculas formando cristais)

- inicia-se quando se atinge o ponto critico
- ocorre por acoplamento de átomos (Difusão Atómica)
- essa grande fronteira cristalina se move com temperatura

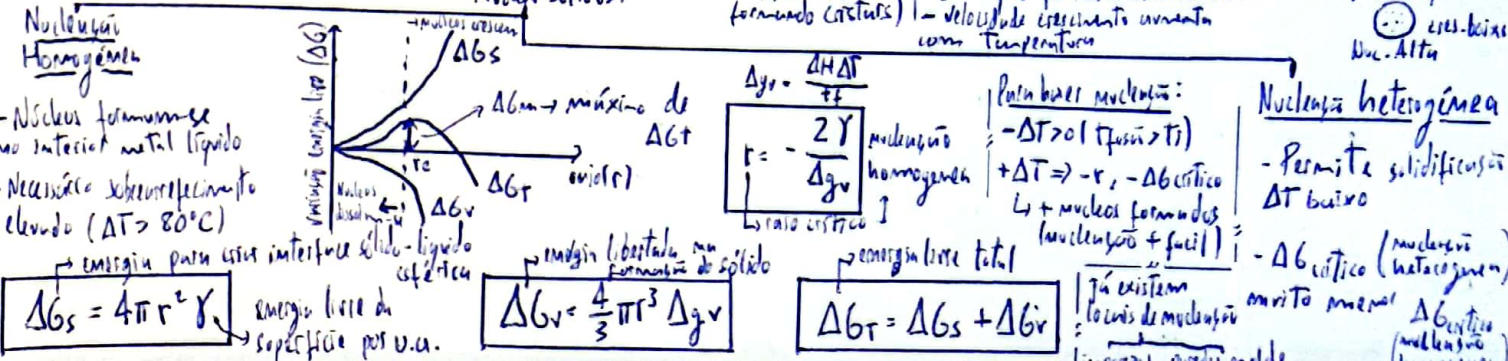


Nucleação Homogênea

- Núcleo formando no interior metil líquido
- Necessário sobre calorímetro elevado ($\Delta T > 80^\circ C$)

$$\Delta G_s = 4\pi r^2 Y$$

energia livre da superfície por u.u.



Painel para nucleação:

$$-\Delta T > 0 \quad (\text{fusão} > 0)$$

$$+\Delta T \Rightarrow -r, -\Delta G_{crítico}$$

$$L + \text{núcleo formado} \quad (\text{núcleo sólido} + \text{líquido})$$

Nucleação heterogênea

- Permite solidificação c/ ΔT baixo

- $\Delta G_{crítico}$ (núcleo heterogêneo)

- já existem locais de nucleação marco menor $\Delta G_{crítico}$ (núcleo sólido)

Liações grãs

- AT bruto → poucos nódulos → estrutura com (grão grosso) → Mais macio e ductil
- AT fechado → muitos nódulos → estrutura c/ nódulos (pequenos) → Mais duro e resistente

Note:
 Δt + $\Delta t -$
 temperatura apuramento do sólido
 Δt + $\Delta t -$
 sobresulfidamento

Difusão atómica - movimentação de átomos transportando massa

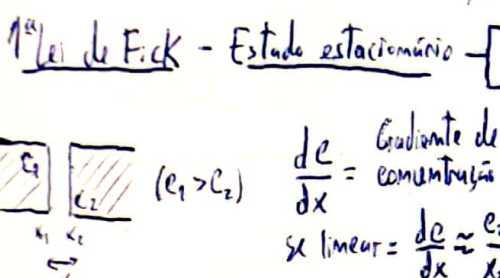
Interc-difusão	Auto-difusão
átomos tendem a migrar de regiões de concentração elevada para zonas de baixa concentração	átomos sólido perco. os átomos da própria espécie também migram).
Ex.: alumínio liga	

Fluxo = Quantidade de matéria que atravessa uma superfície em determinado intervalo de tempo

$$\text{Fluxo} = J = \frac{\text{átomos difusão}}{\text{área superficial} \times \text{tempo}} \text{ ou } \frac{\text{massa difusão}}{\text{área superficial} \times \text{tempo}}$$

$$\text{Quantidade de difusão} \quad \frac{\text{átomos}}{\text{m}^2 \cdot \text{s}} \quad \frac{\text{kg}}{\text{m}^2 \cdot \text{s}}$$

$$\begin{cases} \text{a composição em cada ponto } \frac{\partial C}{\partial x} = 0 \\ \text{é constante ao longo do tempo} \\ \text{a composição varia de ponto } \frac{\partial C}{\partial x} \neq 0 \text{ para ponto} \end{cases}$$



$$dC = \text{Gradiente de concentração}$$

$$\text{Se linear: } \frac{dC}{dx} \approx \frac{C_2 - C_1}{x_2 - x_1}$$

→ Se existir um gradiente de composição $\frac{dC}{dx}$, vai haver um fluxo J que é proporcional ao gradiente

$$J = -D \frac{dC}{dx}$$

coeficiente de difusão

A difusão é um fenômeno termicamente controlado

Ley de Arrhenius

$$D = D_0 e^{-\frac{Q}{RT}}$$

fator pré-exponencial constante gases energia de ativação temperatura absoluta

Difusão Rápida

- Estruturas pouco compactas
- c/ ligamentos
- átomos pequenos
- baixa densidade

Difusão Lenta

- Estruturas compactas
- c/ ligamentos
- átomos grandes
- alta densidade

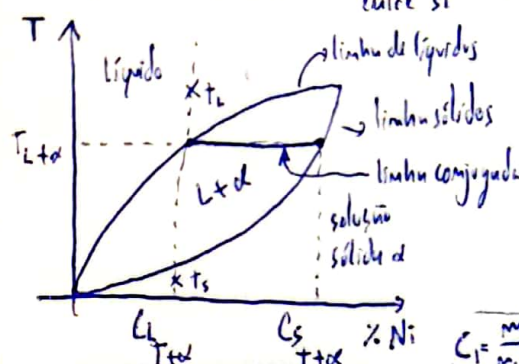
Diagramas de fases: representam graficamente as fases a várias temperaturas, pressões e composições.

Fase: região de um material que tem determinada estrutura e composição.

Límite de solubilidade: é a concentração máxima para a qual só existe uma fase

Diagramas binários: existem regiões monofásicas

• Equilíbrios bifásicos: duas fases em equilíbrio entre si



Sistema isotópico

é aquela que os componentes se dissolvem completamente uns nos outros (ex: sistema Cu-Ni)

Determinação da composição

- Fixar um valor de T
- $C_{Li} = C_x = C_0$
- $C_{Ld} = C_{liq} + C_{sol}$

$$C_i = \frac{m_i}{m_1+m_2} \times 100 \text{ ou } C_i = \frac{m_i}{m_1+m_2} \times 100$$

Mecanismos de difusão

intercristal

- átomos pequenos (H, R, O, N) podem difundir-se entre átomos maiores.

por lacunas

- átomos "trocam" de posição e as lacunas

(Fatores:
 - N = lacunas
 - Energia Ativação para migrar)

laminar

- difusão de átomos P

na estrutura óxido Fe

forma óxido ultrafine rica em carbono

2º Lei de Fick - Estado não estacionário

A concentração da espécie em difusão é em função do tempo e da posição. ($C = C(x, t)$)

$$\frac{\partial C_x}{\partial t} = \frac{\partial}{\partial x} \left(D \frac{\partial C}{\partial x} \right)$$

↳ não tem solução exata

→ Solução particular, difusão de um gás num sólido (composto)

$$\frac{C_s - C_x}{C_s - C_0} = erf \left(\frac{x}{2\sqrt{Dt}} \right)$$

C-superficial C-inicial profundidade

em condições de equilíbrio → um sistema que não evolui → termodinâmico → se u sua energia for constante

Tipos de diagramas de fases

Sistema termonó

- $C=3$
- $V=1 [L, g]$
- $P=1 \text{ atm}$
- $T=Cte.$

Sistema binário

- $C=2$
- $V=2 [T, C]$
- $P=1 \text{ atm}$

Sistema unário

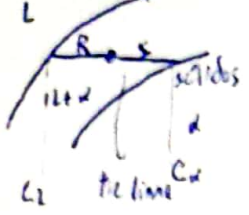
- $C=1$
- $V=2 [T, C]$

Regras das fases de Gibbs:

$$F + V = C + 2 \text{ ou } F + V = C + 1, P = Cte.$$

N: fases N: variáveis indep. m: de componentes (graus liberdade)

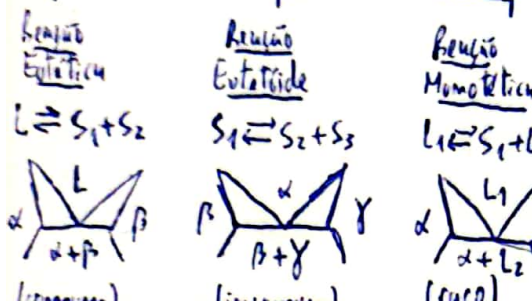
Propriedade de fases



$$R = C_0 - C_L; S = C_L - C_0$$

Equilíbrios Trifásicos

Tipo Eutético (uma fase só se arrefreia transformando-se em duas fases).



→ estes reações traduzem equilíbrios químicos reversíveis
→ no diagrama só o ponto eutético. A reação é sólido → líquido
→ $t = t_{fe}$.

Aço Hypoeutético
($\gamma.C < 0,76\%$)

γ -Austenita (A) Lamelhas de perlita
Fe₃C-aumentado sob a matrix d

→ Arrefecimento em condições de não-equilíbrio
- Difusão no estado sólido não se realiza (processo mais lento)

→ Fusão congruente.
- Transformação isotérmica que ocorre sem mudanças de composição entre as fases envolvidas (de compostos químicos livres elementares)

Ligas ferreas: **Ferros fundidos** ($\gamma.C : 2 \text{ a } 4,5\%$)
Aços ($\gamma.C : 0 \text{ a } 2\%$)

Aços inoxidáveis:
 $\gamma.C > 11\%$. Crômio forma uma camada protetora de óxido de crômio que resiste à corrosão

Aços com baixo carbono:

- Baixa resist. mecânica
- Ductilidade elevada
- Em alguns casos, nôo se usam de 100% de manganês
- Baixa resist. à corrosão oxidativa
- Baixa resist. ao impacto

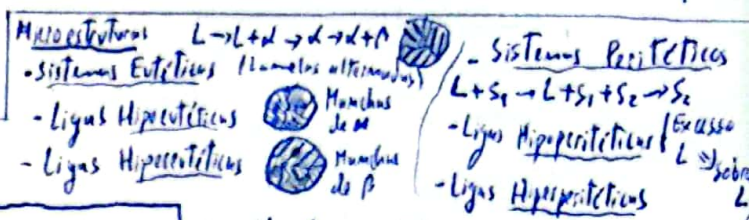
$$\gamma.L = \frac{S}{R+S} \times 100$$

$$\gamma.\alpha = \frac{R}{R+S} \times 100 \quad \begin{array}{l} \text{Regra} \\ \text{Alucinante} \end{array}$$

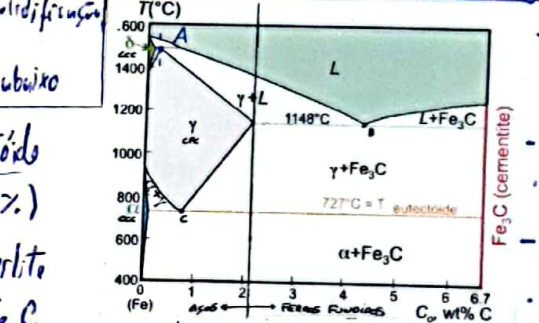
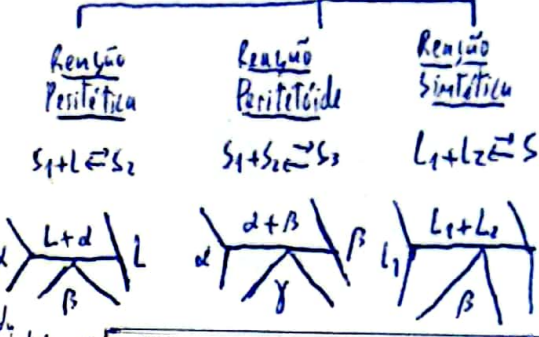
$$\gamma. = \frac{\text{Bruto} \text{ oposto}}{\text{Bruto} \text{ adjunto} + \text{oposto}} \times 100$$

- Temperatura de fusão: $\gamma.L = 100\%$ ($R=0$)
- Temperatura de solidificação: $\gamma.S = 100\%$ ($S=0$)

Notas: As ligas não têm um t_f/t_s definido (só intervalos). Microestrutura J' suspeito físico do material quando observado ao microscópio



tipo peritético (duas fases só se arrefeiam transformando-se em S_1) (excesso de $S_1 \Rightarrow$ Sobr. S_1)



→ zumeamento: a concentração do sólido varia no tempo do arrefecimento, se este for rápido pode haver pouco tempo para difusão.

→ encapsulamento: reações peritéticas (sobr. sólido)

→ eutéticos divorciados

Nomenclatura AISI e SAE:

- 90XX - Aços carbono
- 11XX - Aços carbono (resultados)
- 15XX - Mn (10-20%)
- 40XX - Mo (0,2-0,3%)
- 43XX - Ni (1,65-2%), Cr (0,4-0,9%), Mo (0,2-0,5%)
- 44XX - Mo (0,5%)

$\times \times \rightarrow$ teor em % C $\times 100$ → Cimentos

Tipos de Ferros Fundidos

Nodulares
- Ligas Tijolos
- Densidade elevada

Branco
- Baixa resist. à corrosão
- Baixa resist. ao desgaste, abrasão, corrosão

Molháveis
- tratados térmicamente a 800-900°C
- Grafito em rosetas
- Mais duros e frágis
- Mais cimentitas

Tratamentos térmicos - a transformação de fases sólidas leva tempo
Cinética - estuda as velocidades das reações das transformações de fase
→ Uma transformação de fase requer sempre tempo pois é baseada na difusão no estado sólido ou líquido.

Diagrama III (tempo - temperatura - transformação)

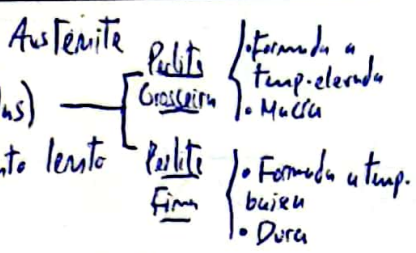
TTT-Ti (transformação isotérmica)

- Material Monofásico
- Rapidamente arrefecido até uma dada temperatura
- Mantido a essa temp. até se dar a transformação, seguindo-se um aquecimento

Procedimentos de transformação da Austenita

• Perlite ($\alpha + Fe_3C$) (Lâminas)

Resultado do arrefecimento lento



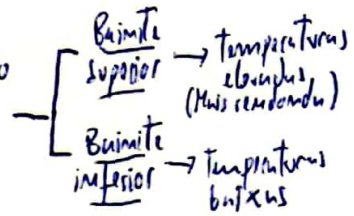
• Bainite

Resultado do arrefecimento rápido

Estrutura máx - lâminas

(ferro Líquido com C e Fe3C)

(Fe3C Plaquetas)



• Martensita / Ferrita / Schersttruktur

em C)

Muito duro e instável. Quebração

Aquecimento ultra-rápido da austenita

Transformação máx - isotérmica

2 estruturas possíveis

TCC (lúbo esticado)

- C > 0,2%

- Dura e frágil

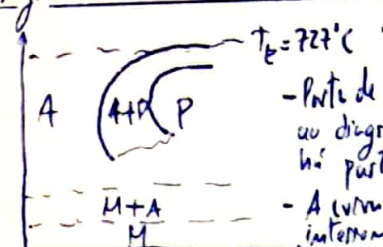
CCC se C < 0,2%

conclusão: $\geq C \geq$ curva descolar-se do

Ms e Mf diminuem

Not: Para formar perlita, bainite ou martensita temos que formar austenita primária (aquecer) e depois arrefecer

Diagrama TTT-AC (Aço Hipotetético) [C=0,76%]



com arrefecimento contínuo

não é possível formar bainite!

Martensita	
Martensita revenida	
Bainite	
Porfirito fino	
Porfirito grosso	

Resistência

Passar o ponto norte ($T=Ms$)

Requere-se Martensita

Termicos: menores distorções e fissuras, obtém-se martensita revenida - Revenido - promove a difusão do carbono da martensita (martensita revenida), reduz tensões internas, diminui a dureza e fragilidade, também não é tensão de utilidade, diminui e aumenta ductilidade.

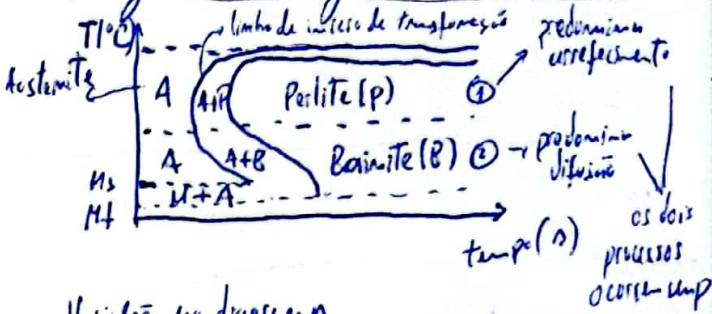
Equação de Avrami: $M = 0, \dots, 1$ (Naturza de Transformação)

$$y = 1 - e^{-kt^m}$$

$$K = \frac{\pi N^2}{3} \text{ taxa de transformação}$$

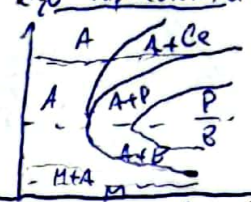
Representa a fração de uma fase que se transforma ao longo do tempo t.

Forma geral de um diagrama TTT-Ti de um aço



Variáveis no diagrama

Aço Hipotetico

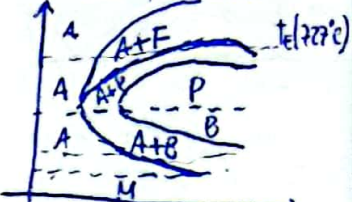


- Curvas descendentes p/ direita

- Ms e Mf diminuem

- Adiçõe da curva de transf. da cementite

Aço Hipotetico



- Curvas descendentes para a esquerda

- Ms e Mf aumentam

- Adiçõe curva de transf da ferrita

conclusão: $\geq C \geq$ curva descolar-se do

Ms e Mf diminuem

Not: Para formar perlita, bainite ou martensita temos que formar austenita primária (aquecer) e depois arrefecer

Tratamentos térmicos das aços

Austemperamento

Támporeta

Inquecimento, manutenção, arrefecimento rápido

- Támporeta em óleo e em ar quente a única diferença é a velocidade de arrefecimento (mais rápido em ar quente)

- Austemperatura - menor ductilidade, menor e menores distorções, obtém-se bainite (bainite e bainite)

- Martensita - menores gradientes

termicos, menores distorções e fissuras, obtém-se martensita

- Revenido - promove a difusão do carbono da martensita (martensita revenida), reduz tensões internas, diminui a dureza e fragilidade, também não é tensão de utilidade, diminui e aumenta ductilidade.

Inquecimento, manutenção e arrefecimento lento.

- Relaxamento de tensões - reduz tensões devido à deformação plástica, contraria ao arrefecimento e transformação de fases

- Estabilização - amacia os aços para melhorar a magnetizabilidade, cementite fica estabilizada.

- Recristalização - aquecimento na zona Y ou $Y + Fe_3C$ e arrefecimento lento dentro da forma (perlita grosseira)

- Recristalização após deformação - elimina os efeitos do encravamento devido à deformação

- Normalização: aquecimento na zona Y e arrefecimento ao ar (perlita fina)

Ligações Núcleo - Fornecimento

(Ni, Mo, W, Cr) resistência a altas T
Molibdénio tem fundição deformante
Resistente a misto alta densidade

Ligações de cobre

O cobre apresenta elevada condutividade elétrica, boa resist. à corrosão, facilidade de fabrico, resist. à tração média e propriedades de recrutamento anisotrópico.

• Cu-Zn (latão): moeda, comutadores

• Cu-Sn (bronce): relógios, engranagens

• Cu-Be: resist. corrosão e fusível fundido (órgãos de马quinaria por precipitação)

Materiais celulares - conjunto de cérolas com arestas e faces sólidas encarregadas de formar e preencher o espaço. (tem densidade relativamente inferior a 0,3)

Materiais celulares naturais (cortiça, espuma, aço, coral...)

Materiais celulares artificiais - o homem é capaz de produzir materiais celulares bidimensionais (é útil porque é resistente em direção ao peso) e tridimensionais (furos dentro) para direção das furos

Modulo de Young

→ Em comparação c/ o mesmo material compacto → O módulo de Young sobre o peso é inferior aos materiais celulares.

Estrutura dos materiais celulares

Poliedro de Kelvin (tetraedro) / 12 faces:
- 6 quadrados
- 8 hexagonos
Modelo + usado para as células

Ligações de titânio

Baixa densidade
Muito reativo a altas temperaturas
Resistente à corrosão, fácil de manusear
Elevada bio-compatibilidade

Aplições: proteses e indústria aeronáutica.

Nomenclatura de ligações:

- wrought [Deformação plástica]
 - 1xxx - 99% Al
 - 2xxx - Al-Cu
 - 3xxx - Al-Mn
 - 4xxx - Al-Si
 - 5xxx - Al-Mg
 - 6xxx - Al-Mg-Si
 - Fundida (cast)
 - 1xx.x, 2xx.x, 3xx.x...

Ligações de alumínio

Baixa densidade
Alígenas de Cu, Mg, Si
Maior resist. à corrosão
e propriedades elevadas

Bon resist. à corrosão
Nó-tóxico

Bons propriedades elétricas
Aplições: Aeromártico, Automóvel, embalagens.

Ligações de níquel

Bon resist. à flama e oxidação/
redução a temperaturas elevadas

Ligações de magnésio

Muito leve
Fácil auto-ignição
Aplições: Missões, Automóvel.

Endurecimento de precipitação

Sistemas que podem levar este tratamento:

- Solução sólida formada (sol) de alta solubilidade
- Solubilidade da diminui rapidamente com T
- Ex: Al-Cu; Cu-Be; Cu-Sn; Mg-Al...
- só aplicável no gama de composição de x.

Precipitação:

1 - Solubilização
Aumentar T até formar solução sólida (x)

2 - Tempera

Diminuição rápida de T para criar solução sólida sobressaturada.

3 - Envelhecimento - Reaquecimento para a formação de partículas de precipitados na fase d. Estes precipitados constituem obstáculos ao movimento das deslocações

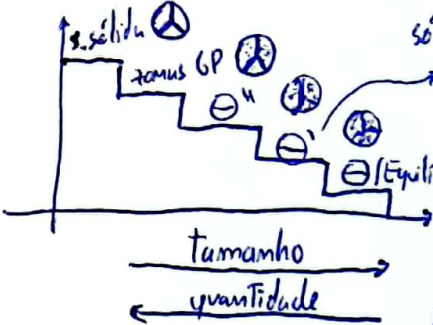
Natural

- precipitação à taxa lenta (tempo)

Artificial

Utilização de forma para elevar a taxa de precipitação.

Tipos de precipitados



só estes são os que constituem obstáculos significativos às deslocações

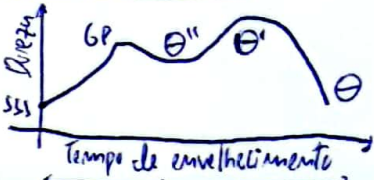
Nota: Ameaçam:

elevado tensão de corte para mover uma deslocação através de um precipitado

mesma estrutura cristalina

- imóvel GP: Muito pequenos e coerentes c/ a matriz
- imóvel θ": Maiores e incoerentes c/ a matriz
- móvel θ': Maiores e incoerentes c/ a matriz
- móvel θ: Muito grandes e incoerentes. dispersos

Curva de envelhecimento



T ↑ = Envelhecimento Mais rápido